



УДК 546.185

**Н. Ю. Струтинська, І. В. Затовський,
член-кореспондент НАН України М. С. Слободянік, А. І. Малишенко,
Б. Г. Місчанчук, О. А. Бєда**

Синтез та термічні перетворення складнозаміщених карбонатвмісних гідроксоапатитів

Синтезовано ряд складнозаміщених (Na^+ , CO_3^{2-})-вмісних гідроксоапатитів у розчинах системи $\text{Na}^+ - \text{Ca}^{2+} - \text{NO}_3^- - \text{CO}_3^{2-} - \text{PO}_4^{3-}$ при різних концентраціях вихідних компонентів та досліджено особливості їх термічних перетворень при нагріванні до 700 °C. Інтерпретацію отриманих результатів проведено із застосуванням методів порошкової рентгенографії, ІЧ спектроскопії та температурно-програмованої десорбційної мас-спектрометрії.

Синтетичні апатити та їх заміщені аналоги широко застосовуються як сорбенти [1, 2], катализатори в реакціях окиснення [3–6], гідратації нітрилів [7] та як оптичні матеріали [8]. Також вони слугують основою біоматеріалів-імплантантів у стоматології та ортопедії [9, 10]. У цьому аспекті залишаються актуальними питання впливу термообробки (часу і температури) на характеристики та структурні перетворення у карбонатзаміщених гідроксоапатитах, які за складом є найбільш наближеними до біологічних об'єктів.

У даному повідомленні представлено результати дослідження особливостей формування та термічних перетворень для складнозаміщених гідроксоапатитів (ГАП) кальцію, отриманих за різних умов синтезу з водних розчинів системи $\text{Na}^+ - \text{Ca}^{2+} - \text{NO}_3^- - \text{CO}_3^{2-} - \text{PO}_4^{3-}$ при фіксованому мольному співвідношенні Ca/P, що дорівнює 1,67, та $\text{CO}_3^{2-}/\text{PO}_4^{3-} = 1,0; 2,0; 3,0$.

Як вихідні компоненти були використані $\text{Ca}(\text{NO}_3)_2 \cdot 4\text{H}_2\text{O}$, Na_2CO_3 та $\text{Na}_3\text{PO}_4 \cdot 12\text{H}_2\text{O}$, з яких готували 1 моль/л водні розчини. З метою з'ясування впливу умов проведення синтезу на склад продуктів заміщених ГАП застосовано два підходи: повільне (серія I) або швидке (серія II) змішування комбінованого розчину фосфату і карбонату натрію з розчином нітрату кальцію. Отриманий в обох випадках аморфний осад відстоювали, фільтрували та промивали на фільтрі 2 л дистильованої води (до відсутності якісної реакції на нітрат-іон). Далі зразки висушували на повітрі при 80 °C (24 год) та піддавали термообробці при різних температурах (400, 550, 700 °C) 1 год.

© Н. Ю. Струтинська, І. В. Затовський, М. С. Слободянік, А. І. Малишенко, Б. Г. Місчанчук, О. А. Бєда, 2014

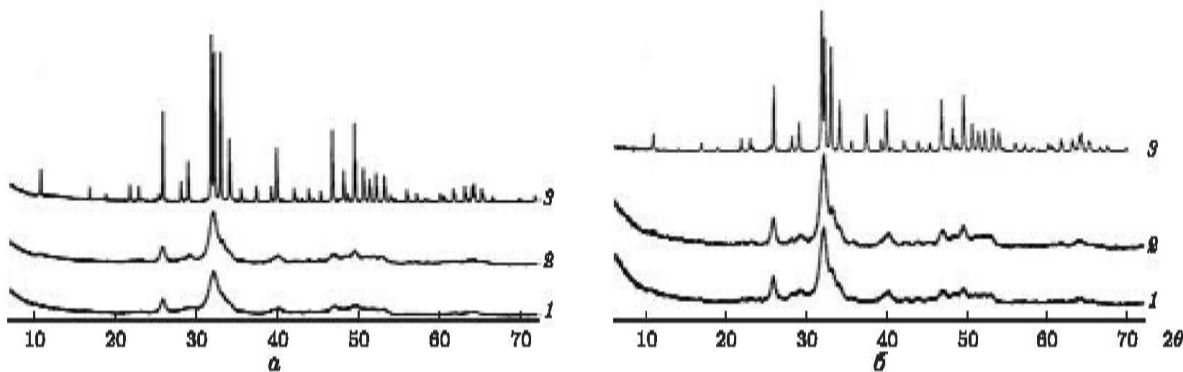


Рис. 1. Приклади рентгенограмм зразків серії I ($\text{CO}_3^{2-}/\text{PO}_4^{3-}$ дорівнює 1) (а) та серії II ($\text{CO}_3^{2-}/\text{PO}_4^{3-}$ дорівнює 3) (б), висушених при 80°C (1) та термооброблених при 400°C (2) або 700°C (3)

Синтезовані карбонатвмісні ГАП було схарактеризовано з використанням методів: порошкової рентгенографії (дифрактометр "Shimadzu XRD-6000" з графітовим монохроматором, метод 2θ безперервного сканування зі швидкостями 1 або 2 град/хв; $2\theta = 5,0\text{--}80,0^\circ$), ІЧ спектроскопії (спектрометр "Nicolet Nexus FTIR" для запресованих зразків у таблетках КВр діапазон зйомки $400\text{--}4000\text{ cm}^{-1}$), температурно-програмованої десорбційної мас-спектрометрії (мас-спектрометр MX 7304A). Елементний склад синтезованих зразків встановлено за результатами енергодисперсійного рентгеноспектрального аналізу.

За результатами порошкової рентгенографії отримані продукти взаємодії є рентгеноаморфними (рис. 1), за винятком зразків серії I (у випадку вихідних співвідношень $\text{CO}_3^{2-}/\text{PO}_4^{3-}$ дорівнюють 2 та 3), що містили карбонат кальцію як домішку. Утворення CaCO_3 призвело до зменшення виходу ГАП, порівняно з іншими зразками. У рентгенограмах, термічнооброблених при 400°C ГАП, спостерігаються два широких гало у діапазоні $2\theta = 25\text{--}28^\circ$ і $2\theta = 30\text{--}35^\circ$, з яких відбувається поступове виділення окремих, характерних ГАП, рефлексів у випадку зразків, нагрітих понад 550°C (див. рис. 1). Це свідчить про початок агломерації кристалітів та виникнення упорядкованості дальнього порядку. Рентгенограми зразків термооброблених при 700°C містять повний набір характерних ГАП рефлексів, а розраховані параметри елементарних комірок отриманих сполук наведено у табл. 1.

Згідно з літературними даними [11–13], карбонатні групи у матриці ГАП можуть знаходитися у двох позиціях: замінні гідроксильні групи (А-тип) або фосфатні (В-тип). При реалізації заміщення за А-типом в ІЧ-спектрах карбонатна група характеризується дублетом при 1545 та 1450 cm^{-1} (асиметричні коливання) та синглетом при 880 cm^{-1} , а для В-типу відповідні коливальні моди знаходяться при 1455 , 1410 та 875 cm^{-1} . В ІЧ-спектрах усіх вихідних зразків спостерігаються смуги, які відповідають коливальним модам: PO_4 -тетраедрів у частотних областях $1000\text{--}1100\text{ cm}^{-1}$ (ν_1 і ν_3) і $560\text{--}600\text{ cm}^{-1}$ (ν_4), CO_3 -груп — діапазони

Таблиця 1. Параметри елементарних комірок для синтезованих карбонатвмісних ГАП (пр. гр. $P6_3/m$)

Серія зразка	Вихідне співвідношення $\text{CO}_3^{2-}/\text{PO}_4^{3-}$	Параметри комірки, нм	
		a	c
I	1	0,94119	0,68919
II	1	0,94180	0,68881
II	2	0,94038	0,68938
II	2	0,94066	0,68896

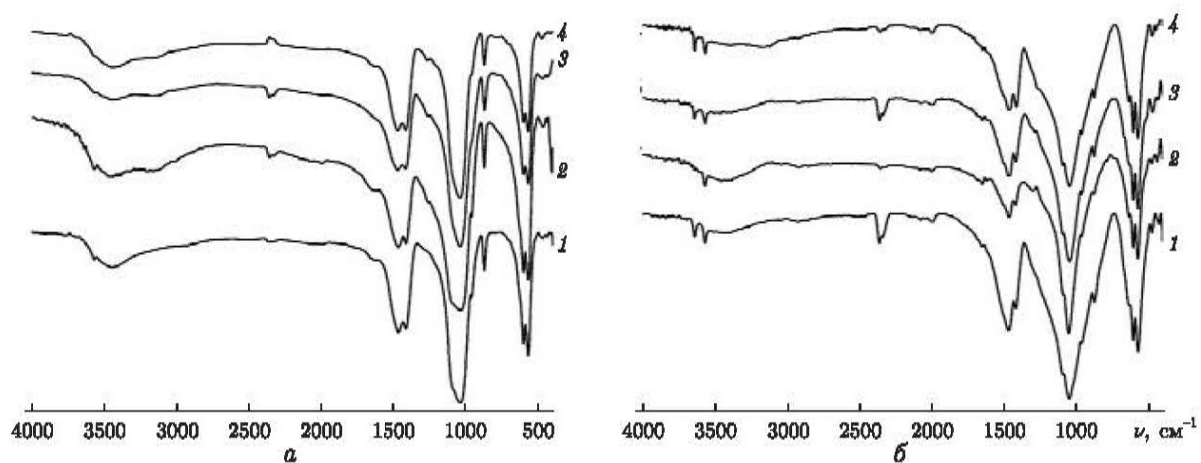


Рис. 2. ІЧ-спектри висушених при $80\text{ }^{\circ}\text{C}$ (а) та термооброблених при $700\text{ }^{\circ}\text{C}$ (б) зразків серії I ($\text{CO}_3^{2-}/\text{PO}_4^{3-}$ -дорівнює 1 (1)) та серії II ($\text{CO}_3^{2-}/\text{PO}_4^{3-}$ -дорівнює: 1 (2); 2 (3); 3 (4))

$1500\text{--}1400\text{ cm}^{-1}$ (ν_3) і $880\text{--}870\text{ cm}^{-1}$ (ν_2) та OH^- -груп — близько 3480 й 600 cm^{-1} (рис. 2). За частотним положенням смуг, які відповідають коливанням карбонатних груп, у нашому випадку отримано карбонатвмісні ГАП з пріоритетним заміщенням фосфатних груп (В-тип), ступінь якого зростає зі збільшенням вмісту карбонату у вихідному розчині (інтенсивність смуг CO_3 -груп зростає відносно відповідних для PO_4 -тетраедрів). В ІЧ-спектрах зразків, які нагрівали до $550\text{ }^{\circ}\text{C}$, істотно зменшується інтенсивність коливальних мод OH -груп, а при термообробці $700\text{ }^{\circ}\text{C}$ також зменшуються інтенсивності смуг, які належать CO_3 -групам (див. рис. 2).

За результатами елементного аналізу встановлено, що синтезовані зразки містять кальцій, фосфор, карбон та натрій. Вміст натрію й карбону в отриманих сполуках обох серій зростає у міру збільшення концентрацій іонів Na^+ та CO_3^{2-} у вихідних розчинах (вміст натрію в межах $0,6\text{--}2,1\%$ за масою, карбонат-іона від $5,0$ до $6,6\%$ за масою). Таким чином, результати елементного аналізу та ІЧ спектроскопії свідчать на користь реалізації схеми гетеровалентного заміщення за принципом $\text{Ca}^{2+} + \text{PO}_4^{3-} \rightarrow \text{Na}^+ + \text{CO}_3^{2-}$, а склад отриманих зразків відображає формула $\text{Ca}_{10-x}\text{Na}_x(\text{PO}_4)_{6-y}(\text{CO}_3)_y(\text{OH})_2 \cdot x\text{H}_2\text{O}$.

Зміну маси зразків при їх термообробці на повітрі при різних температурах демонструє табл. 2. З метою виявлення особливостей термічних перетворень та ідентифікації продуктів, які при цьому утворюються, було проведено температурно-програмований десорбційний мас-спектрометричний аналіз. Згідно з даними, основна втрата води відбувається в температурному інтервалі від 70 до $200\text{ }^{\circ}\text{C}$ (в умовах вакууму, положення максимуму піка, що відповідає масі 18, знаходиться близько $80\text{ }^{\circ}\text{C}$, рис. 3, а). Такий температурний інтервал треба відносити до втрати сорбованої води. Вище температури $500\text{ }^{\circ}\text{C}$ спостерігається по-

Таблиця 2. Зміна маси синтезованих карбонатзаміщених ГАП при нагріванні при різних температурах

Серія зразка	Вихідне співвідношення $\text{CO}_3^{2-}/\text{PO}_4^{3-}$	$\Delta m, \%$		
		$400\text{ }^{\circ}\text{C}$	$550\text{ }^{\circ}\text{C}$	$700\text{ }^{\circ}\text{C}$
I	1	9,2	11,8	12,1
II	1	12,2	13,5	15,1
II	2	9,4	10,8	15,5
II	3	7,2	9,0	16,3

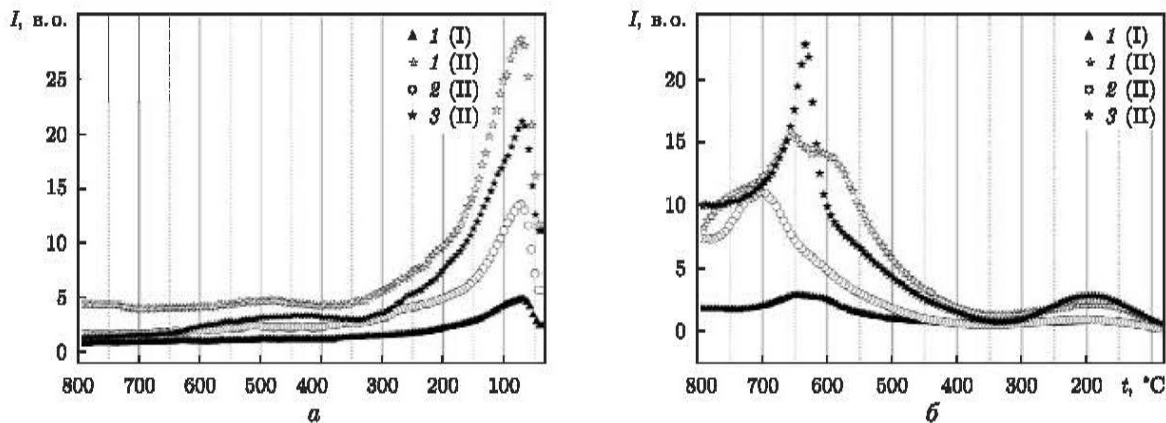


Рис. 3. Результати температурно-програмованої десорбційної мас-спектрометрії для H_2O ММ 18 (а) та CO_2 ММ 44 (б).
І або ІІ — серія зразка; 1–3 — $\text{CO}_3^{2-}/\text{PO}_4^{3-}$ у вихідному розчині

чаток виділення CO_2 , що відбувається в досить широкому інтервалі температур (див. б на рис. 3) з максимумами в області 600–720 °C, залежно від складу зразка. Отже, при термообробці зразків на повітрі при 400–550 °C втрата маси зумовлена видаленням води (7–12% за масою залежно від умов синтезу), що не призводить до переходу від аморфного стану до кристалічного. Формування полікристалічних ГАП відбувається після часткового видалення CO_2 при нагріванні до 700 °C. При цьому втрата маси при нагріванні в інтервалі від 550 до 700 °C зростає зі збільшенням карбонат-іонів у синтезованому зразку.

Таким чином, застосований підхід до синтезу складнозаміщених ГАП, який включає отримання аморфного прекурсору та подальшу стадію його термічної обробки, розширяє можливості варіювання вмісту замісників (Na^+ і CO_3^{2-}) у кристалічній матриці. Висока стабільність синтезованих аморфних продуктів передбачає перспективи їх використання у технологіях нанесення апатиту на поверхню металевих імплантатів для стоматології та ортопедії.

1. Akhil A., Moufiah M., Sebti S. Removal of heavy metal ions from water by using calcined phosphate as a new adsorbent // J. Hazard. Mater. – 2004. – 112. – P. 183–190.
2. Takeuchi Y., Arai H. Removal of coexisting Pb^{2+} , Cu^{2+} and Cd^{2+} ions from water by addition of hydroxyapatite powder // J. Chem. Eng. Jpn. – 1990. – 22. – P. 75–80.
3. Matsumura Y., Moffat J. B. Partial Oxidation of Methane to Carbon-Monoxide and Hydrogen with Molecular-Oxygen and Nitrous-Oxide over Hydroxyapatite Catalysts // J. Catal. – 1994. – 148. – P. 323–333.
4. Hyuk Jun J., Lee T.-J., Hoon L. T., Nam S.-W. et al. Nickel-calcium phosphate/hydroxyapatite catalysts for partial oxidation of methane to syngas: characterization and activation // Ibid. – 2004. – 221. – P. 178–190.
5. Opre Z., Grunwaldt J.-D., Maciejewski M. et al. Promoted Ru-hydroxyapatite: designed structure for the fast and highly selective oxidation of alcohols with oxygen // Ibid. – 2005. – 230. – P. 406–419.
6. Matsumura Y., Moffat J. B. Methanol adsorption and dehydrogenation over stoichiometric and non-stoichiometric hydroxyapatite catalysts // J. Chem. Soc., Faraday Trans. – 1996. – 92. – P. 1981–1984.
7. Bazi F., Badaoui H. El, Tamani S. et al. A facile synthesis of amides by selective hydration of nitriles using modified natural phosphate and hydroxyapatite as new catalysts // Appl. Catal. A: Gen. – 2006. – 301. – P. 211–214.
8. Pappalardo R. G., Walsh J., Hunt R. B. Cerium-Activated Halophosphate Phosphors: I. Strontium Fluoroapatites // J. Electrochem. Soc. – 1983. – 130. – P. 2087–2096.
9. Wopenka B., Pasteris J. D. A mineralogical perspective on the apatite in bone // Mater. Sc. Eng. – 2005. – 25. – P. 131–143.

10. LeGeros R.Z. Calcium phosphates in oral biology and medicine // Monograph. Oral Sci. – 1991. – 15. – P. 37–58.
11. Fleet M. E., Liu X. Type A-B carbonate chlorapatite synthesized at high pressure // J. Solid State Chem. – 2008. – 181. – P. 2494–2500.
12. Fleet M. E., Liu X. Location of type B-carbonate ion in type A-B carbonate apatite synthesized at high pressure // Ibid. – 2004. – 177. – P. 3174–3182.
13. Lee Y., Hahn Y.M., Matsuya S. et al. Characterisation of macroporous carbonate-substituted hydroxyapatite bodies prepared in different phosphate solutions // J. Mater. Sci. – 2007. – 42. – P. 7843–7849.

Київський національний університет
ім. Тараса Шевченка

Надійшло до редакції 22.07.2013

**Н. Ю. Струтинская, И. В. Затовский,
член-корреспондент НАН Украины Н. С. Слободянник, А. И. Малишенко,
Б. Г. Мисчанчук А. А. Беда**

Синтез и термические превращения сложнозамещенных карбонатсодержащих гидроксоапатитов

Синтезирован ряд сложнозамещенных (Na^+ , CO_3^{2-})-содержащих гидроксоапатитов в растворах системы $\text{Na}^+ - \text{Ca}^{2+} - \text{NO}_3^- - \text{CO}_3^{2-} - \text{PO}_4^{3-}$ при различных концентрациях исходных компонентов и исследованы особенности их термических превращений при нагревании до 700 °C. Интерпретация полученных результатов проведена с использованием методов порошковой рентгенографии, ИК спектроскопии и температурно-программированной десорбционной масс-спектрометрии.

N. Yu. Strutynska, I. V. Zatovsky,
Corresponding Member of the NAS of Ukraine M. S. Slobodyanik, A. I. Malyshenko
B. G. Mischanchuk, O. O. Byeda

Synthesis and thermal transformation of complexly substituted carbonated hydroxyapatites

The complexly substituted (Na^+ , CO_3^{2-})-containing hydroxyapatites are prepared from aqueous solutions of the system $\text{Na}^+ - \text{Ca}^{2+} - \text{NO}_3^- - \text{CO}_3^{2-} - \text{PO}_4^{3-}$ ($\text{Ca}/\text{P} = 1.67$ and different molar ratios $\text{CO}_3^{2-}/\text{PO}_4^{3-}$). The thermal transformation of the samples heated to 700 °C is investigated. The obtained compounds have been characterized by powder X-ray diffraction, FTIR-spectroscopy, and temperature-programmed desorption mass spectrometry.